

# ارائه مدل ریاضی برای تعیین رفتار سینتیکی پلیمرشدن استیرن

Mathematical Model for Determination of Kinetics Behaviour of Styrene Polymerization



علی نیک اختر، فاطمه جهانزاد، مهدی نگومنش حقیقی

کیلومتر ۱۵ اتوبان تهران - کرج، بلوار پژوهش، پژوهشگاه پلیمر ایران

دریافت: ۷۷/۱۲/۹، پذیرش: ۷۸/۴/۲۹

## چکیده

پلی استیرن از پلیمرهای بسیار پرمصرف است. مطالعه پلیمرشدن استیرن از جنبه‌های مختلف مورد توجه پژوهشگران بوده است. یکی از زمینه‌های کاربردی در پلیمرشدن مدل‌سازی و شبیه‌سازی است. در این پژوهش با اصلاح بخش مکانیسم واکنش و شبیه‌سازی سیستم پلیمرشدن هدف ارائه مدل‌ها برای توجیه دقیق پلیمرشدن در مجاورت آغازگر بنزوئیل پروکسید و دماهای بالا بوده است. برای ارزیابی صحت کار انجام شده مقایسه‌هایی با نتایج مدل مارتون و هامیلک صورت گرفته و سپس برای تأیید اصلاحات، مقایسه‌ای بین نتایج محاسباتی و داده‌های تجربی برای پلیمرشدن جرمی استیرن در دماهای بالاتر و آغازگر بنزوئیل پروکسید انجام شده است. نتایج بدست آمده حاکی از آن است که تصحیح ثابت‌های سرعت انتشار و پایان به صورت توابعی از خصوصیات محیط و نیز پلیمرشدن گرمایی استیرن در دماهای بالا، میزان انحراف نتایج مدل با موارد تجربی را نسبت به مدل‌های گذشته کاهش داده است.

واژه‌های کلیدی: سینتیک، پلیمرشدن، استیرن، مدل ریاضی، بنزوئیل پروکسید

Key Words: kinetics, polymerization, styrene, mathematical model, benzoyl peroxide

## در واکنش پلیمرشدن رادیکال آزاد موازنۀ جرم بین آغازگر

تخریب شده و زنجیرهای پلیمری ایجاد شده برقرار نیست. این پدیده با نام اثر قفسی حلال مشهور است و ابتدا توسط فرانک و رابینویچ پیشنهاد [۱] و سپس توسط نویز مدل‌سازی شد [۲]. با پیشرفت واکنش، در حالی که غلظت مواد واکنش دهنده کم می‌شود، سرعت واکنش به جای کاهش، افزایشی غیرعادی نشان می‌دهد. این پدیده را نوریش (۱۹۳۹)، تزوومسدورف (۱۹۴۵) و شولز (۱۹۴۷) گزارش کرده و با استفاده از نظریه‌های مربوط به نفوذ، مانند نظریه حجم آزاد و نظریه حرکت مارگونه (reptation) و مفهوم درهم‌رفتگی (entanglement) درشت رادیکال‌ها، مدل‌هایی ارائه شده

## مقدمه

در پلیمرشدن رادیکال آزاد علاوه بر مکانیسم و خصوصیات شیمیایی مواد که بر سرعت واکنش اثر دارند، پدیده‌های فیزیکی نیز واکنش را تحت تأثیر قرار می‌دهند و در درصد تبدیلهای مختلف آثار گوناگونی ایجاد می‌کنند. سه پدیده فیزیکی تعیین کننده، آثار قفسی حلال، ژل و شیشه‌ای شدن است. علت این آثار خصوصیات فیزیکی محیط، بویژه گرانروی، است. افزایش گرانروی مقاومتی در برابر نفوذ مواد به محل واکنش ایجاد می‌کند. در نتیجه، سینتیک کلاسیک تنها تعیین کننده سرعت واکنش نیست، بلکه نفوذ مواد عامل محدود کننده‌تری خواهد بود.

است [۳-۵].

در پایان واکنش، پس از افزایش زیاد سرعت واکنش، کاهش شدیدی در آن ملاحظه و واکنش تقریباً متوقف می‌شود و بسته به عوامل مختلف این درصد تبدیل نهایی مقادیر متفاوتی خواهد داشت.

## سینتیک واکنش

برای پلیمرشدن مکانیسم فرضی چنین است:

$$2k_{\text{dis}}[I] + k_{\text{th}}[M]^{\gamma} = k_i[R]^{\gamma} \quad (9)$$

$$[R] = \left( \frac{2k_{\text{dis}}[I] + k_{\text{th}}[M]^{\gamma}}{k_i} \right)^{1/2}$$

محاسبه کرد، بنابراین:



$$r_{\text{th}} = k_{\text{th}}[M]^{\gamma} \quad (3)$$

$$r_i = k_i[\Phi][M] \quad (4)$$

$$r_t = (k_d + k_c)[R]^{\gamma} \quad (5)$$

$$k_t = k_d + k_c$$

$$r_{tc} = k_{tc}[R][C] \quad (6)$$

در این مکانیسم C را می‌توان آغازگر، حلال، مونومر و غیره در نظر گرفت که با توجه به کارهای فلوری، معادله سرعت آغازگرمایی از درجه دوم در نظر گرفته شده است. با توجه به این مکانیسم یاد شده معادله‌های سرعت را ابتدا با فرض حالت ایستا برای رادیکالهای اولیه چنین می‌توان نوشت:

$$\frac{d[\Phi]}{dt} = 0 = 2k_{\text{dis}}[I] + k_{\text{th}}[M]^{\gamma} - k_i[\Phi][M] \quad (7)$$

$$[\Phi] = \frac{2k_{\text{dis}}[I] + k_{\text{th}}[M]^{\gamma}}{k_i[M]}$$

با جایگزینی غلظت رادیکالهای اولیه در معادله آغاز زنجیر (معادله ۳) نتیجه از این قرار است:

$$r_i = k_i[M] \frac{2k_{\text{dis}}[I] + k_{\text{th}}[M]^{\gamma}}{k_i[M]} = 2k_{\text{dis}}[I] + k_{\text{th}}[M]^{\gamma} \quad (8)$$

با معادله‌های یافته شده در بخش سینتیک فقط سرعت واکنش را در درصد تبدیلهای کم بطور تقریبی می‌توان پیش‌بینی کرد. برای بررسی دقیق تمام مراحل واکنش باید آثار فیزیکی قفس، ژل و شیشه‌ای شدن را به صورت مدل‌های ریاضی ارائه و تاثیر آنها را در معادله‌های سرعت اعمال کرد. پس از اینکه مولکولهای آغازگر به صورت رادیکالهای آزاد شکسته شدند، رادیکالهای حاصل قبل از واکنش با مونومر و تولید رادیکال اولیه تا مدتی در بین مولکولهای محیط محبوس باقی می‌مانند و در این فاصله زمانی می‌توانند واکنشهای دیگری انجام دهند. بنابراین، تمام مولکولهای آغازگر صرف تولید زنجیرهای پلیمری نمی‌شوند. این پدیده را اثر قفسی حلال می‌نامند.

زمانی که گرانروی محیط افزایش می‌یابد، انتقال انتهایی فعال زنجیرها برای انجام واکنشهای پایان با زحمت انجام می‌گیرد و سرعت واکنش پایان کم می‌شود، اما مولکولهای مونومر برای انتقال انتهایی این را از میان مولکولهای آغازگر بگذرانند. نتیجه این عمل کاهش سرعت واکنش پایان، افزایش تعداد مراکز فعال و افزایش سرعت پلیمرشدن و وزن مولکولی زنجیرهاست، این پدیده با نام اثر ژل شدن مشهور است.

در انتهای واکنش که گرانروی محیط بسیار زیاد می‌شود، حتی مونومرهای نیز نمی‌توانند در محیط نفوذ کنند و واکنش انتشار را انجام دهند، بنابراین سرعت واکنش انتشار نیز بسیار کم می‌شود و واکنش عملاً متوقف می‌گردد. این پدیده اثر شیشه‌ای شدن است.

یکی از مدل‌هایی که برای توصیف این پدیده‌ها در سیستم پلیمرشدن توده و محلول ارائه شده مدل مارتون - هامیلک است [۵]. در این مدل، پدیده‌های ژل و شیشه‌ای شدن در نظر گرفته شده است. همچنین، برای اثر قفسی ضریب ثابت  $\alpha$  وارد معادله‌ها می‌شود. در ابتدا، انتقال مواد به آسانی انجام می‌شود و عامل تعیین کننده سرعت واکنش شیمیایی است، اما پس از اینکه گرانروی محلول زیاد شد، انتقال

مشخص شده است که بهترین تطابق با مقادیر تجربی زمانی حاصل می شود که در معادله ۱۱ وزن مولکولی متوسط وزنی باشد و به توان  $\frac{1}{2}$  برسد. البته، این مخصوص محصول درهم رفته نشده است، برای محصول درهم رفته تغییرات  $k_1$  از معادله زیر پیروی می کند:

$$k_1 = k_1 \left( \frac{\phi \delta^{\frac{1}{2}}}{M_w^{1/75} k_2} \right) \exp\left(-\frac{A}{V_f}\right) \quad (14)$$

برای بدست آوردن نقطه ای که از آنجا اثر ژل شدن آغاز می شود، یا به عبارت دیگر محصول در هم رفته بوجود می آید، می توان چنین فرض کرد که واکنش پایانی پس از گرفتار شدن محصول به وسیله نفوذ کنترل می شود و آن موقعی است که مقدار  $k_3$  بدست آمده از معادله زیر از مقدار ثابت  $k_2$  بیشتر می شود:

$$k_3 = M_w^{1/5} \exp\left(-\frac{A}{V_f}\right) \quad (15)$$

برای هر وزن مولکولی و متوسط وزنی در دمای ثابت فقط یک درصد تبدیل وجود دارد که در معادله ۱۵ صدق می کند و در آن اثر ژل شدن آغاز می شود. این درصد تبدیل به عواملی چون غلظت حلال، غلظت و نوع آغازگر و عوامل انتقال زنجیر وابسته است. از آنجا که  $M_w$  وابسته به این کمیتهاست، بنابراین مشخص است که در تعیین نقطه آغاز ژل شدن، اثر این عوامل درنظر گرفته شده است. در نقطه بحرانی آغاز اثر ژل شدن، ثابت سرعت پایان  $k_1$  برابر مقدار  $k_2$  است. در این شرایط حجم آزاد را با  $V_{fcr}$  و وزن مولکولی متوسط وزنی را با  $M_{wcr}$  نشان دهنده که این مقادیر در معادله ۱۴ صادق است و معادله زیر به صورت زیر خواهد بود:

$$k_{t0} = k_1 \left( \frac{\phi \delta^{\frac{1}{2}}}{k_2 M_{wcr}} \right) \exp\left(-\frac{A}{V_{fcr}}\right) \quad (16)$$

با تقسیم معادله ۱۴ می توان  $k_1$  را در هر زمان بدست آورد:

$$\frac{k_t}{k_{t0}} = \left( \frac{M_{wcr}}{M_w} \right)^{1/75} \exp\left\{ -A \left( \frac{1}{V_f} - \frac{1}{V_{fcr}} \right) \right\} \quad (17)$$

در درصد تبدیل بالا پس از یک نقطه بحرانی، واکنش انتشار نیز زیر کنترل اثر نفوذ قرار می گیرد و از این پس معادله های زیر صادق است:

$$k_p = \psi_1 D_{mcr} = k_{po} \quad (18)$$

واکنشگرهای تحت کنترل نفوذ قرار می گیرد. بنابراین، پدیده نفوذ را باید در گرانزویهای مختلف به صورت مدل درآورد. برای بیان این اثر از نظریه حجم آزاد استفاده شده است. از آنجا که آثار پلیمرشدن گرمایی نیز وارد معادله ها شده است، با این کار، که اصلاحی بر مدل مارتن-هامیلک است، می توان پلیمرشدن را در دماهای بالا نیز پیش بینی کرد.

هدفی که در این مدل دنبال می شود نشان دادن وابستگی  $k_p$  به دما، درصد تبدیل و وزن مولکولی پلیمر است.

برای توصیف اثر ژل شدن فرض براین است که وقتی ضریب نفوذ برای رادیکالهای پلیمری کمتر یا مساوی ضریب نفوذ بحرانی  $D_{per}$  می شود، واکنش پایان تحت کنترل نفوذی قرار می گیرد. ثابت سرعت پایان پس از آغاز کنترل نفوذی متناسب با ضریب نفوذ است:

$$k_t = k_1 D_p \quad (19)$$

ضریب نفوذ را به حجم آزاد و وزن مولکولی نسبت داده اند که معادله حاصل بدين قرار است:

$$D_p = \frac{\phi \delta^{\frac{1}{2}}}{k_1 M_m} \exp\left(-\frac{A}{V_f}\right) \quad (20)$$

در این معادله،  $M_m$  وزن مولکولی پلیمر (تک توزیع)،  $\phi$  فرکانس پوش،  $\delta$  فاصله پوش،  $V_f$  حجم آزاد و  $k_2$  و  $A$  دو ثابت در معادله اند. برای بدست آوردن حجم آزاد در هر لحظه معادله زیر صادق است:

$$V_f = \left( \frac{V_p}{V_t} + \alpha_p(T-T_{gp}) \right) \frac{V_p}{V_t} + \left( \frac{V_s}{V_t} + \alpha_s(T-T_{gs}) \right) \frac{V_s}{V_t} \quad (21)$$

در این معادله  $\alpha_p$  و  $\alpha_s$  به ترتیب نشان دهنده مونومر، پلیمر و حلال است. همچنین،  $T_g$  حجم کل،  $T_g$  دمای انتقال شیشه ای و  $\alpha = \alpha_p - \alpha_s$  است که ضریب انسباط حالت مایع و  $\alpha_g$  ضریب انسباط حالت شیشه ای است.

دمای انتقال شیشه ای به ورن مولکولی پلیمر (متوجه عددی) مربوط است که این ارتباط در معادله زیر توصیف شده است:

$$T_{gp} = T_{g\infty} - \frac{Q}{M_n} \quad (22)$$

$T_{g\infty}$  دمای انتقال شیشه ای در وزن مولکولی بینهایت،  $M_n$  متوجه عددی وزن مولکولی و  $Q$  یک پارامتر ثابت است.

## جدول ۱ - مقادیر ثابت‌های بکار رفته در معادله‌ها.

۱۹ بر ۱۸ نتیجه می‌شود که:

$$k_p = k_{po} \exp\left\{-B\left(\frac{1}{V_f} - \frac{1}{V_{fcr}}\right)\right\} \quad (21)$$

در این معادله  $V_{fcr}$  حجم آزاد در نقطه بحرانی شروع اثر شیشه‌ای شدن است. در زمانی که محیط حالت شیشه‌ای دارد، طبق نظریه بویشه در نظر گرفته می‌شود [۵].

مقادیر ثابت‌های بکار رفته در معادله‌های بالا، در جدول ۱ نشان داده شده است.

تغییرات درصد تبدیل با زمان آثار ژل و شیشه‌ای شدن به صورت تصحیح در ثابت‌های سرعت انتشار و پایان بیان شده و این ثابت‌ها به صورت توابعی از خصوصیات محیط تبدیل می‌شوند. اثر قفس نیز به صورت ضربی ثابت، موسوم به ضریب کارایی آغازگر ( $f$ )، در سرعت واکنش تخریب آغازگر وارد می‌شود. با قرار دادن این توابع جدید به جای ثابت‌های سرعت انتشار و پایان در معادله‌های شیمیایی سرعت واکنش و قرار دادن  $k_{dis}$  در معادله سرعت تخریب آغازگر، این آثار وارد محاسبات می‌گردند.

حال با حل عددی هم‌مان معادله‌های تصحیح شده ۱، ۴ و ۹ می‌توان تغییرات درصد تبدیل را با زمان پیدا کرد. طی انجام واکنش سه مرحله وجود دارد. در مرحله اول، سینتیک کلاسیک حاکم است و ثابت‌های انتشار و پایان برابر مقادیر اولیه آنهاست. این حالت با صفر قرار دادن مقدار A، و توان وزن مولکولی در روابط ثابت‌های سرعت، ایجاد می‌شود. در مرحله دوم که شروع اثر ژل شدن است،  $A = ۰/۳۸۴$  و  $B = ۰/۷۵$  است. در مرحله سوم که اثر شیشه‌ای شدن در سیستم حاکم می‌گردد، مقدار  $A = ۰/۳۴۸$  و  $B = ۱$  توان وزن مولکولی ۱ خواهد بود.

از آنجاکه  $k_p$  تابعی از وزن مولکولی است، باید بطور هم‌مان وزن مولکولی را نیز محاسبه کرد. معادله‌های پیان کننده وزن مولکولی در شرایطی که واکنش پایان از طریق جفت شدن است بدین ترتیب است:

$$M_n = \frac{[M]_0 x}{\int_{x/(\tau+\beta/2)}^{\infty} dx} \quad (22)$$

$$M_w = \frac{2}{x} [M]_0 \int_{x/(\tau+\beta/2)}^{\infty} \frac{x}{\tau+\beta} dx \quad (23)$$

که  $x$  و  $\beta$  به صورت زیر تعریف می‌شود:

$$\tau = C_m + C_s \frac{[S]}{[M]} + C_i \frac{[I]}{[M]} \quad (24)$$

مجله علمی کنفرانسی سال دوازدهم، شماره دوم، تابستان ۱۳۷۸

$$(k_p/k)_t^{1/2} = ۹/۹۷ \times 10^7 \exp\left(-\frac{7000}{RT}\right) \text{ L/mol min}$$

$$k_{dis} = ۳/۸۵ \times 10^{14} \exp\left(-\frac{14119/4}{T}\right) \text{ min}^{-1}$$

$$k_r = ۹/۴۶ \exp\left(-\frac{1929}{T}\right) \left(\frac{g}{mol}\right)^{1/2}$$

$$V_{fcr} = ۰/۰۳۳$$

$$T_g_m = -88/2^\circ\text{C}$$

$$T_g_\infty = ۹۳/5^\circ\text{C}$$

$$C_m = ۱/۰ \exp\left(-\frac{3212}{T}\right)$$

$$f = ۰/۶$$

$$C_s = ۰/۰ ۱۸۸ \exp\left(-\frac{2196}{T}\right)$$

$$Q = 17 \times 10^5 \text{ (g/mol)degree}$$

$$\alpha_p = ۰/۴۸ \times 10^{-3} (\text{ }^\circ\text{C})^{-1}$$

$$\alpha_m = ۱/۰ \times 10^{-3} (\text{ }^\circ\text{C})^{-1}$$

$$\alpha_s = ۱/۰ \times 10^{-3} (\text{ }^\circ\text{C})^{-1}$$

$$d_m = (0/924 - (0/000918 k^{-1}(T-273/15k))) \text{ g/cm}^3$$

$$d_p = (1/084 - (0/000605 k^{-1}(T-273/15k))) \text{ g/cm}^3$$

$$B = 1$$

$$A = ۰/۳۸۴$$

$$k_p = \psi_1 D_m$$

که  $k_{po}$  ثابت سرعت انتشار پیش از درصد تبدیل بحرانی،  $D_m$  ضریب نفوذ مونومر،  $D_{mc}$  ضریب نفوذ مونومر در درصد تبدیل بحرانی و  $\psi_1$  ضریب تناسب است.

ضریب نفوذ یک مولکول کوچک در یک محلول پلیمری با عبارت زیر بیان می‌گردد:

$$D_m = \left(\frac{\phi_2 \delta_2}{\eta}\right) \exp\left(-\frac{B}{V_f}\right) \quad (20)$$

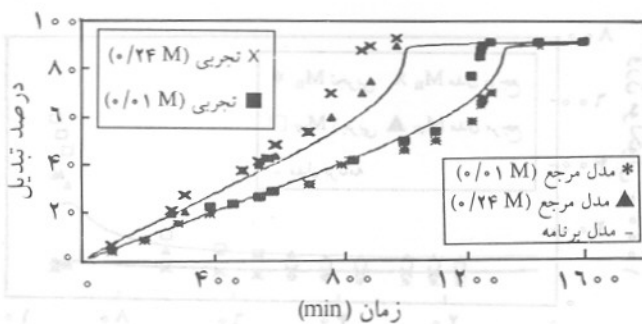
با جایگزینی معادله ۲۰ در معادله‌های ۱۸ و ۱۹ و سپس، تقسیم معادله

توجه بوده است. مدلسازی آثار فیزیکی ژل و شیشه‌ای شدن توسط مارتون و هامیلک انجام شده [۵] و این کار از طریق تصحیح ثابت‌های سرعت و اکشنهای انتشار و پایان بوده است. مدل آنها برای دماهای پایین و آغازگر آزوپیس ایزو بوتیرونیتریل (AIBN) طراحی شد.

پلیمر شدن استیرن با آغازگر بتزوئیل پروکسید (BPO) و در دماهای بالا در صنعت کاربردهایی دارد. با توجه به این موضوع، هدف این پژوهش شیوه‌سازی پلیمر شدن استیرن در دماهای مختلف (بالا و پایین) و آغازگرهای علاوه بر AIBN بوده است. از آنجاکه خصوصیات واکنش و روند پیشرفت آن به وسیله مکانیسم واکنش و آثار فیزیکی نتیجه شده از پدیده نفوذ تحت تأثیر قرار می‌گیرند، بنابراین باید در مورد مکانیسم واکنش و پدیده‌های فیزیکی مدلسازی انجام گیرد و سپس، با تلفیق این دو سیستم پلیمر شدن شیوه‌سازی شود. برای پدیده‌های فیزیکی ژل و شیشه‌ای شدن از مدل مارتون و هامیلک استفاده شده است. از آنجاکه در دماهای بالا پلیمر شدن گرمابی نیز منبع تولید رادیکال است، در مکانیسم واکنش نقشی برای این مرحله نیز در نظر گرفته شده است که در بخش مقدمه درباره آن بحث گردید. اثر قفسی حلال نیز به صورت ضربی ثابت به نام پازده آغازگر وارد معادله‌ها شده است. در واکنشهای آغاز زنجیر تخریب آغازگرهای دیگر از جمله BPO با ثابتها و بازده آن نیز مد نظر بوده است. با در نظر گرفتن این موارد شیوه‌سازی پلیمر شدن استیرن انجام گرفت.

برای بررسی صحبت شیوه‌سازی، ابتدا نتایج حاصل از محاسبات با داده‌های تجربی و محاسباتی گزارش شده مقایسه گردید. سپس، برای ارزیابی نتایج آن برای شرایط مورد نظر، یعنی دماهای بالا و آغازگر BPO، مقایسه‌ای با نتایج تجربی بدست آمده انجام گرفت.

شکل ۱ نمودار تغییرات درصد تبدیل با زمان را نشان می‌دهد و مقایسه‌ای بین نتایج شیوه‌سازی کنونی با داده‌های تجربی و محاسباتی گزارش شده است. همان‌طور که ملاحظه می‌شود، در درصدهای تبدیل



شکل ۱ - مقایسه نتایج تجربی و مدل برنامه و مرجع در دمای  $60^{\circ}\text{C}$  و غلظتهاي  $0/024\text{ M}$  و  $0/01\text{ M}$  نسبت به آغازگر AIBN در پلیمر شدن توده استیرن.

$$\beta = \frac{2(f k_{\text{dis}}[I])^{1/2}}{(k_p/M)} \quad (25)$$

## تجربی

### روشها

#### آماده سازی

برای خالص سازی استیرن صنعتی، ابتدا بازدارنده محلول در آن به کمک شستشو با محلول سود ۵ درصد جدا شده، آنگاه به کمک شستشو با آب مقطر ناخالصیهای محلول در آب و سود باقیمانده شسته شد. سپس، با استفاده از سدیم سولفات بدون آب رطوبت محلول گرفته شده و در نهایت به کمک تقطیر در خلاء این ماده خالص شد. بتزوئیل پروکسید در کلروفرم حل و با روشن تبلور خالص شد. تولوئن و متانول، که به ترتیب نقش حلال و ضد حلال را دارند، از طریق تقطیر خالص شدند.

#### آزمایش‌های انجام شده

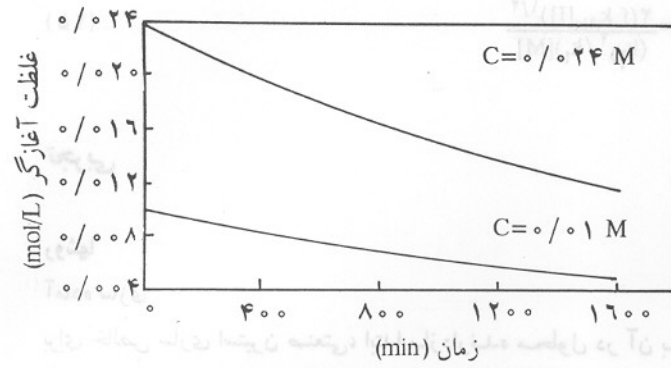
پس از تهیه محلولهای موردنظر با غلظتهاي متفاوت آغازگر در استیرن، این محلولها به آمپولهای شیشه‌ای منتقل و آمپولها ابتدا در دمای پایین نیتروژن و فشار کم قرار داده شد. آنگاه، در همان فشار دمای نمونه به دمای محیط رسانده شد تا ذوب شده و اکسیژن محلول در آن خارج شود. سپس، دوباره آمپولها در دما و فشار پایین قرار داده شد و این کار سه مرتبه تکرار گردید. سرانجام، زیر خلاء (فشار پایین) به وسیله شعله شیشه‌گری آمپولها بسته شد. کپسولهایی که بین ترتیب تهیه شد در حمام رونگ با دمای مشخص قرار گرفت و در زمانهای موردنظر از حمام رونگ خارج شده و سریعاً سرد شد تا واکنش پلیمر شدن متوقف گردد.

#### اندازه‌گیری درصد تبدیل

برای اندازه‌گیری درصد تبدیل از روش وزن سنجی استفاده شد. در این روش، ابتدا مقدار معینی از نمونه داخل آمپولها در حلال تولوئن حل و پلیمر موجود در آن، با ضد حلال متانول رسوب‌گیری شد. رسوب حاصل در کاغذ صافی (با وزن مشخص) صاف و سپس خشک گردید. با توزیع مجدد کاغذ صافیها وزن پلیمر محاسبه شد و با توجه به وزن نمونه در درصد تبدیل بدست آمد.

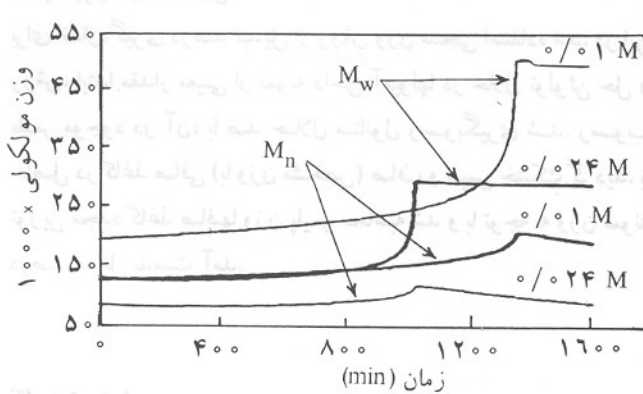
## نتایج و بحث

برای پلیمر شدن توده رادیکال آزاد مدل‌های مختلفی ارائه شده و در این میان پلیمر شدن استیرن با آغازگرهای تولید کننده رادیکال آزاد مورد

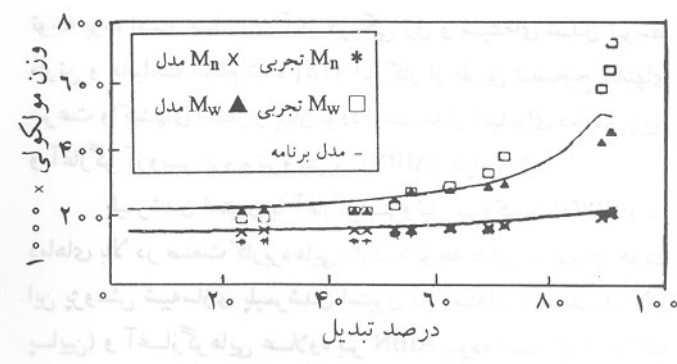


شکل ۴ - تغییرات غلظت آغازگر نسبت به زمان برای پلیمرشدن توده استیرن به آغازگر AIBN در غلظتهای  $1\text{ mol/L}$  و  $0.024\text{ mol/L}$ .

طریق محاسبه بدست آورد نشان می‌دهد. تخریب آغازگر، واکنشی از درجه اول است که این موضوع در شکل ۴ برای غلظتهای  $1\text{ mol/L}$  و  $0.024\text{ mol/L}$  درصد وزنی آغازگر نسبت به مونومر نشان داده شده است. در شکل ۵ اوزان مولکولی متوسط وزنی و عددی نسبت به زمان رسم شده و افزایش اوزان مولکولی لحظه‌ای در ناحیه اثر ژل شدن و ثابت ماندن آن پس از این قسمت کاملاً مشهود است. این تغییرات برای اوزان مولکولی لحظه‌ای در شکل ۶ نشان داده شده است. مشاهده می‌شود که پس از یک افزایش در اوزان مولکولی لحظه‌ای، به علت متوقف شدن فرایند، این کمیتها در حد صفر ثابت باقی می‌مانند. تغییرات PDI لحظه‌ای و متوسط نسبت به زمان در شکل ۷ و سرعت واکنش با زمان در شکل ۸ نشان داده شده است. در این نمودارها نیز عملکرد آثار ژل و شیشه‌ای شدن بر فرایند مشخص است. با استفاده از این اطلاعات می‌توان برای رسیدن به خصوصیات موردنظر در محصول، فرایند و شرایط حاکم بر واکنش را تغییر داد تا به نتیجه مطلوب رسید.



شکل ۵ - نمودارهای تغییرات جرم‌های مولکولی متوسط وزنی و عددی نسبت به زمان در پلیمرشدن توده استیرن در دمای  $60^\circ\text{C}$  و غلظت  $0.024\text{ mol/L}$  و  $0.01\text{ mol/L}$  نسبت به آغازگر AIBN.

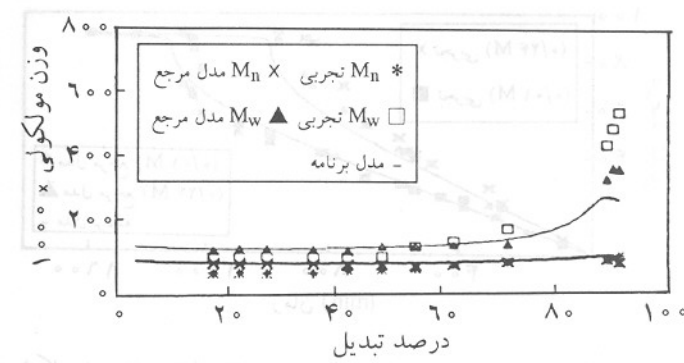


شکل ۲ - مقایسه نتایج تجربی و مدل‌های برنامه و مرجع در دمای  $60^\circ\text{C}$  و غلظت  $0.024\text{ mol/L}$  نسبت به AIBN.

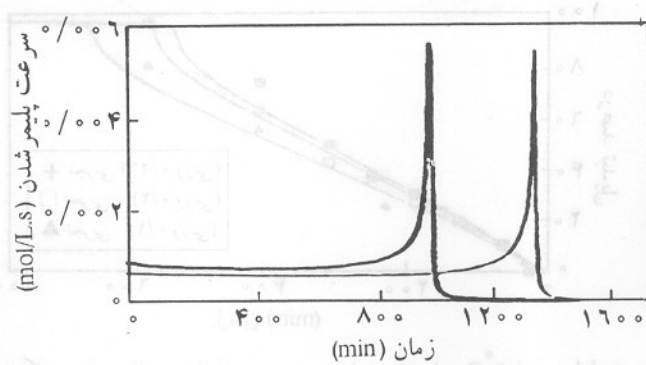
کم توانی بین نتایج تجربی و داده‌های حاصل از شبیه‌سازی بهتر است. اما، در مجموع توافق بین نتایج، بویژه داده‌های محاسباتی گزارش شده توسط مارتون و هامیلک و شبیه‌سازی کنونی، قابل قبول است.

شکلهای ۲ و ۳ معرف این گونه مقایسه‌ها بین نتایج اوزان مولکولی حاصل شده از روشهای یاد شده است. در اینجا نیز در درصد تبدیل زیاد مارتون - هامیلک برای متوسط وزن مولکولی وزنی مقادیر کمتری نسبت به نتایج تجربی ارائه می‌دهد، اما بین داده‌های محاسباتی که توسط مارتون / هامیلک ارائه شده و نتایجی که در این تحقیق بدست آمده توافق خوبی ملاحظه می‌شود.

این مقایسه‌ها برای اطمینان از صحبت شبیه‌سازی انجام شده‌اند. و همان طور که ملاحظه می‌شود، آثار ژل و شیشه‌ای شدن در نتایج کاملاً مشهود است. علاوه بر این، در سیستمهای پلیمرشدن خصوصیاتی وجود دارد که در آزمایشگاه بطور کلی یا براحتی قابل اندازه‌گیری نیست، اما این خصوصیات را می‌توان به کمک مدل و داده‌های حاصل از آن بدست آورده و در آنها نیز آثار ژل و شیشه‌ای شدن قابل مشاهده و توجیه است. شکلهای ۴ تا ۸ اطلاعاتی از این گروه را که می‌توان از



شکل ۳ - مقایسه نتایج تجربی و مدل‌های برنامه و مرجع در دمای  $60^\circ\text{C}$  و غلظت  $0.01\text{ mol/L}$  نسبت به AIBN.

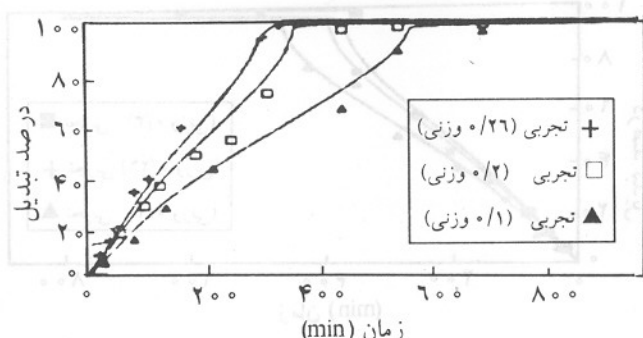


شکل ۸ - نمودار سرعت واکنش پلیمرشدن توده استیرن با غلظت  $0.024\text{ M}$  و  $0.01\text{ M}$  نسبت به آغازگر AIBN در دمای  $60^\circ\text{C}$ .

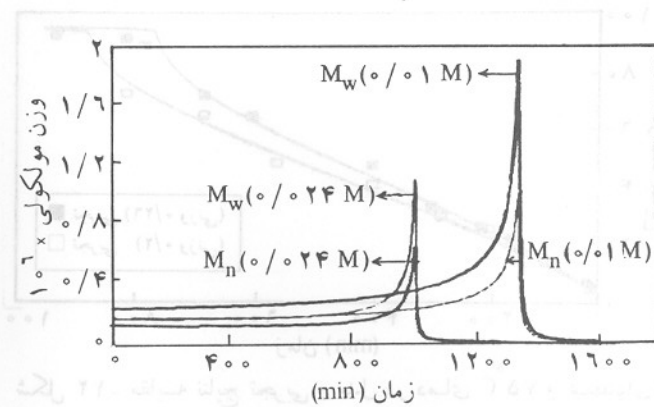
بطور کلی، در تمام شیوه‌سازی‌هایی که براساس پیشنهاد مارتون و هامیلک درخصوص مدلسازی پدیده‌های ژل و شیشه‌ای شدن صورت می‌گیرد، مقدار انحراف در درصد تبدیل زیاد بیشتر است که این انحراف نقص در مدلسازی است. از جمله دلایل این نقص را می‌توان موارد زیر ذکر کرد:

- دفع ناقص گرما از محیط واکنش، زیرا در این حالت دمای سیستم آن طور که انتظار می‌رود ثابت نیست و سرعت واکنش پایان و انتشار با آنچه در شرایط همدم است، که از فرضهای مدل است، متفاوت است. این پیش‌بینی نادرست بر گرانزوی که عامل مهم و محدود کننده پدیده نفوذ است اثر می‌گذارد و عاملی برای انحراف می‌کردد.

۲ - در تمام نقاط محیط واکنش دما کاملاً یکنواخت نیست، بنابراین در همه نقاط شرایط پلیمرشدن با آنچه انتظار می‌رود یکسان نیست و بطور موضعی سرعت واکنشهای پایان و انتشار و گرانزوی محیط تغییر می‌کند. نتیجه این اثر، تغییر جرم مولکولی، PDI، سرعتهای واکنش



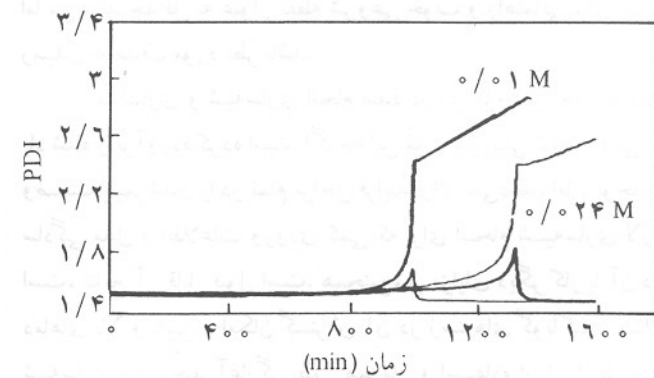
شکل ۹ - مقایسه نتایج تجربی و مدل در دمای  $90^\circ\text{C}$  و غلظتهای (الف)  $0.01\text{ M}$ ، (ب)  $0.024\text{ M}$  و (ج)  $0.026\text{ M}$  درصد وزنی نسبت به آغازگر بنزوئیل پروکسید.



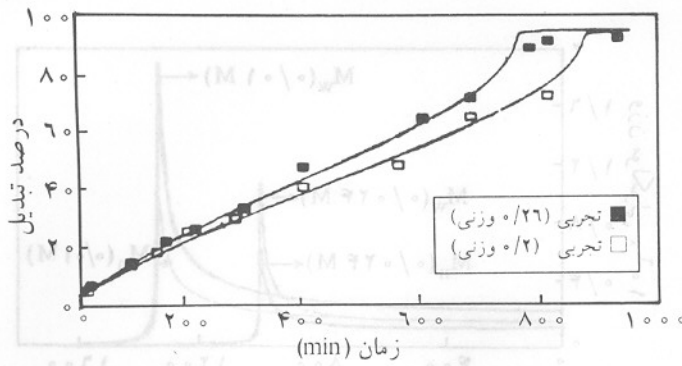
شکل ۶ - نمودار تغییرات جرم‌های مولکولی لحظه‌ای وزنی و عددی نسبت به زمان در پلیمرشدن توده استیرن با غلظت  $0.024\text{ M}$  و  $0.01\text{ M}$  نسبت به آغازگر AIBN.

برای امتحان صحت مدل در شرایط دیگر تجربی با آغازگر بنزوئیل پروکسید، ابتدا واکنش پلیمرشدن توده استیرن در دمای  $75^\circ\text{C}$ ،  $80^\circ\text{C}$ ،  $85^\circ\text{C}$  و  $90^\circ\text{C}$  و غلظتهای  $0.026\text{ M}$ ،  $0.024\text{ M}$  و  $0.01\text{ M}$  درصد وزنی نسبت به آغازگر بنزوئیل پروکسید انجام شد. پلیمرشدن در آمپولهای شیشه‌ای بسته شده و زیر خلاء انجام گرفت و برای اندازه گیری درصد تبدیل روش وزن سنجی بکار گرفته شد. سپس، تغییرات درصد تبدیل بر حسب زمان برای این واکنشها رسم و با نتایج مدل مقایسه شد [۱].

در شکلهای ۹ تا ۱۲ مقایسه‌ای بین نتایج تجربی و داده‌های مدل صورت گرفته است. همان طور که ملاحظه می‌شود، توافقی بین نتایج تجربی و مدل بطور نسبی در تمام قسمتهای منحنیها دیده می‌شود که در اینجا نیز توافق در بخش ابتدای آنها بیشتر است.

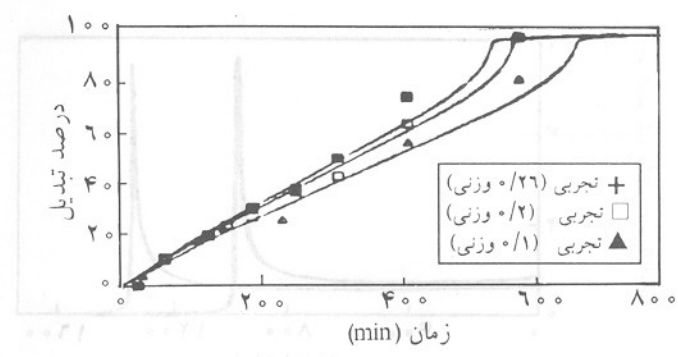


شکل ۷ - نمودار تغییرات PDI لحظه‌ای و متوسط بر حسب زمان در پلیمرشدن توده استیرن و در غلظتهای  $0.024\text{ M}$  و  $0.01\text{ M}$  نسبت به AIBN.



شکل ۱۲ - مقایسه نتایج تجربی و مدل در دمای  $75^{\circ}\text{C}$  و غلظتهاي: (الف)  $(2/2)$  و (ب)  $(2/26)$  درصد وزني نسبت به آغازگر بتزوئيل پروکسید.

$M_0 = 100 \text{ g}$



شکل ۱۰ - مقایسه نتایج تجربی و مدل در دمای  $85^{\circ}\text{C}$  و غلظتهاي: (الف)  $(2/2)$ ، (ب)  $(2/26)$  و (ج)  $(3/0)$  درصد وزني نسبت به آغازگر بتزوئيل پروکسید.

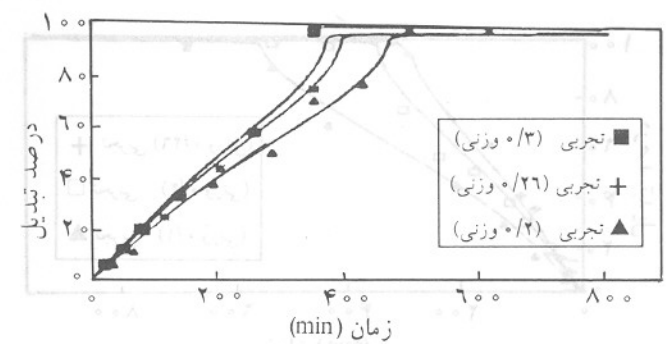
$M_0 = 100 \text{ g}$

### نتيجه گيري

يکي از روشهاي بررسی فرایندها، مدلسازی و شیوه‌سازی آنهاست. از آنجا که در این نوع بررسی هدف در ارائه نظریه و بازسازی آنچه عملاً اتفاق می‌افتد است، بنابراین روشی بسیار مفید و کاربردی در بررسی فرایند است. چون، پس از رسیدن به یک نتیجه قابل اعتماد، امکان شیوه‌سازی و پیش‌بینی فرایند در شرایط مختلف دیگر نیز فراهم می‌آید در وقت و هزینه صرف‌جویی بسیاری انجام می‌گیرد. از آنجا که در این گونه تحقیقات عوامل قابل مشاهده یا غیرقابل مشاهده یا آنها که سختی قابل مشاهده‌اند در نظر گرفته می‌شوند، از این رو می‌توان به کمک شیوه‌سازی در هر لحظه میزان تغییرات این متغیرها را مشاهده و اثر آنها را بر فرایند و محصول نهایی بررسی کرد. مثالی از این گونه متغیرها در شرایط را طوری تغییر داد یا انتخاب کرد که به هدف نهایی دست یافت. اگرچه ممکن است این اطلاعات کاملاً در توافق با نتایج تجربی نباشد، اما می‌تواند حداقل به عنوان نقطه شروعی خوب و راهنمایی برای مسیر رسیدن به هدف مورد نظر باشد.

مدلسازی و شیوه‌سازی انجام شده در این پژوهش خصوصیات یاد شده را برآورده کرده است. اگرچه این مدل پیش‌بینی کاملاً دقیقی از وضعیت پلیمرشدن را در تمام مراحل فرایند ارائه نمی‌دهد، اما با توجه به سادگی مدل و اطلاعات ورودی کمی که برای انجام شیوه‌سازی لازم است، نتایج آن قابل قبول است. همچنین، از مزایای دیگر کار با آن در دهه‌های بالا و پایین و امکان گسترش آن در زمینه‌های گوناگون مثلاً شیوه‌سازی برای چند آغازگر بطور همزمان و استفاده از شرایط غیر همدم در حین عمل است. این موارد می‌توانند موضوعاتی برای ادامه تحقیقات برای دستیابی به پلیمرهایی با شرایط عمل و خصوصیات فیزیکی ویژه باشند.

۳- در این مدل بازده آغازگر ثابت فرض می‌شود که این موضوع از یکسان در نظر گرفتن اثر قفسی حلal طی واکنش تغییرات محیط واکش، مانند گرانروی، ثابت بودن بازده آغازگر، منطقی بنظر نمی‌رسد که این خود عاملی برای ایجاد انحراف بویژه در انتهای واکنش باشد. یک منشا دیگر در ایجاد انحراف مشاهده شده، خطاهای موجود در روش وزن‌سنجی است که بویژه در انتهای واکنش ظاهر می‌شود. چون، نمونه‌ها جامد شده و وزن مولکولی زیادی دارند، بنابراین به سختی حل می‌شوند و در هنگام انحلال نیز امکان پیچیدن زنجیرها به دور هم زیاد است که در موقع رسویگیری مقداری از مونومر و حلal در داخل پلیمر گیر می‌افتد و به هنگام خشک کردن نیز جدا نمی‌شوند. علاوه براین، روش وزن‌سنجی ذاتاً دارای مقداری خطأ و عدم صحت است.



شکل ۱۱ - مقایسه نتایج تجربی و مدل در دمای  $80^{\circ}\text{C}$  و غلظتهاي: (الف)  $(2/2)$ ، (ب)  $(2/26)$  و (ج)  $(3/0)$  درصد وزني نسبت به آغازگر بتزوئيل پروکسید.

$r_{dis}$	سرعت واکنش تخریب آغازگر	نشانه گذاری
$r_i$	سرعت واکنش آغاز زنجیر	
$r_p$	سرعت واکنش انتشار	
$r_t$	سرعت واکنش پایان	
$r_{tc}$	سرعت واکنش انتقال زنجیر	ثابت
S	حال	ثابت
Tg	دمای انتقال شیشه‌ای	ثابت، آغازگر، مونومر و ...
$Tg_\infty$	دمای انتقال شیشه‌ای در وزن مولکولی پنهانیت	ثابت انتقال به آغازگر
$V_t$	حجم کل	ثابت انتقال به مونومر
$V_f$	حجم آزاد	ثابت انتقال به حال
$V_{fcr}$	حجم آزاد در نقطه بحرانی آغاز اثر شیشه‌ای شدن	ضریب نفوذ مونومر
$V_{fcr}$	حجم آزاد در نقطه بحرانی آغاز اثر ژل شدن	ضریب نفوذ بحرانی مونومر
$\Phi$	رادیکال اولیه	ضریب نفوذ پلیمر
$X = \frac{[M]_0 - [M]}{[M]_0}$	درصد تبدیل	ضریب نفوذ بحرانی پلیمر
$\phi$	فرکانس پرش	بازده آغازگر
$\phi_2$	فرکانس پرش مولکول کوچک	آغازگر
$\delta$	فاصله پرش	ثابت سرعت واکنش پایان از طریق جفت شدن
$\delta_2$	فاصله پرش مولکول کوچک	ثابت سرعت واکنش پایان از طریق تسهیم نامتناسب
$\alpha_l$	ضریب انساط حالت مایع	ثابت سرعت واکنش تخریب آغازگر
$\alpha_g$	ضریب انساط حالت شیشه‌ای	ثابت سرعت واکنش آغاز زنجیر
مراجع		
1. North, A.M.; <i>The collision Theory of Chemical Reactions in Liquids</i> ; Wiley, New York, 1964.	$k_c$	ثابت سرعت واکنش پایان از طریق جفت شدن
2. Noyes R.M.; <i>Encyclopedia of Polymer Science and Technology</i> ; Mark H.F.; Caylord N.G. and Bikales N.M. (Eds.), Wiley-Interscience; New York, 2, 796, 1965.	$k_d$	ثابت سرعت واکنش پایان از طریق تسهیم نامتناسب
3. Achilias D.S. and Kiparssides C.; <i>Macromolecules</i> ; 25, 3739, 1992.	$k_{dis}$	ثابت سرعت واکنش تخریب آغازگر
4. Ito K.; <i>Polym. J.</i> ; 16, 10, 761, 1984.	$k_i$	ثابت سرعت واکنش آغاز زنجیر
5. Marten F.L. and Hamielec A.E.; <i>J. Appl. Polym. Sci.</i> ; 27, 489, 1982.	$k_p$	ثابت سرعت واکنش انتشار
۶ - علی نیک‌اختر، پایان نامه کارشناسی ارشد، دانشگاه شهید بهشتی، . ۱۳۷۶	$k_{po}$	ثابت سرعت واکنش اولیه واکنش انتشار
	$k_t = k_d + k_c$	ثابت سرعت واکنش پایان
	$k_{tc}$	ثابت سرعت واکنش انتقال زنجیر
	$k_1, k_2, k_3$	ثابت
	$k_{th}$	ثابت سرعت آغازگر مایی
	M	مونومر
	$M_m$	وزن مولکولی پلیمر تک توزیعی
	$M_n$	وزن مولکولی متوسط عددی
	$M_w$	وزن مولکولی متوسط وزنی
	$M_{wcr}$	وزن مولکولی متوسط وزنی در نقطه آغاز اثر ژل شدن
	P	پلیمر
	Q	ثابت
	R	زنجیرهای درحال رشد
	$r_c$	سرعت واکنش پایان از طریق جفت شدن
	$r_d$	سرعت واکنش پایان از طریق تسهیم نامتناسب